

محله علمی-پژوهشی «رادار»

سال سوم، شماره ۲، تابستان ۱۳۹۴؛ ص ۹-۱

ارائه یک فیلتر باند وسیع مایکروویو کوچک با استفاده از حلقه مستطیلی بارگذاری شده با بازوی زمین شده و حلقه های رزونانسی شکاف دار

حسین فتح آبادی^۱، حمید محسنی^۲، مصطفی داناییان^{۳*}، اسماعیل زارعزاده^۴

۱- مری، دانشگاه خاتم الانبیاء (ص) ۲- دانشجوی دکتری، دانشکده مهندسی برق، دانشگاه شهید باهنر کرمان، ۳- دانشجوی دکتری، دانشکده مهندسی برق، دانشگاه صنعتی امیرکبیر

(دریافت: ۹۴/۰۶/۱۷، پذیرش: ۹۳/۰۹/۱۸)

چکیده

در این مقاله، یک فیلتر جدید باند وسیع کوچک با لبه های تیز با استفاده از حلقه مستطیلی بارگذاری شده با بازوی زمین شده به صورت نوسان ساز چندحالته و حلقه های رزونانسی شکاف دار ارائه می شود. روش طراحی بدین صورت است که با قرار دادن یک حلقه مایکرواستریپ مستطیل شکل میان دو خط فاصله دار تزویج موازی دوتایی چهار صفر انتقال تولید می شود که یک فیلتر باند وسیع فشرده به ما خواهد داد. به منظور کنترل صفرهای انتقال در باند عبور و تنظیم یکی از صفرهای انتقال، نزدیک باند عبور پایینی از یک بازوی زمین شده که در روی حلقه مایکرواستریپ تعابیه شده است، استفاده می کنیم. در ادامه به منظور تیز شدن لبه بالایی، از حلقه های رزونانسی شکاف دار استفاده می شود که یک قطب در نزدیکی لبه بالایی فیلتر اضافه می گردد که منجر به تیز شدن آن خواهد شد. این فیلتر دارای پهنه ای باندی است که محدوده $2/8 \text{ GHz}$ تا 10 GHz را پوشش می دهد، به عبارت دیگر دارای پهنه ای باند کسری $112/5\%$ می باشد. سایز فیلتر پیشنهادی نسبت به اغلب فیلترهای باند وسیع موجود به مراتب کوچکتر می باشد. نتایج اندازه گیری فیلتر نیز سازگاری خوبی با نتایج شبیه سازی شده دارد.

واژگان کلیدی

فیلترهای میان گذر باند وسیع، حلقه های رزونانسی شکاف دار، حلقه مایکرواستریپ، خطوط فاصله دار با تزویج موازی دوتایی، نوسان ساز چندحالته.

۱. مقدمه

کم، مورد توجه زیاد محققان قرار گرفته است. به همین منظور تحقیقات زیادی در زمینه طراحی و ساخت فیلترهای باند وسیع با تکنیک های مختلف به انجام رسیده است که این موضوع اهمیت این نوع فیلترها را بیشتر نمایان می سازد.

در سال های اخیر، علاقه زیادی به تحقیق در زمینه متماثریال یا فراماده ایجاد شده است. فراماده یک ساختار الکترو مغناطیسی مصنوعی و همگن با خواص فیزیکی غیر عادی است که به صورت طبیعی در محیط موجود نمی باشند [۲ و ۳]. به دلیل خواص منحصر به فردی که خطوط فراماده از خود نشان می دهند، در طراحی فیلترهای مایکروویو استفاده از این خطوط محسنه از قبیل: تیز بودن لبه های فیلتر، و مهمتر از همه کوچک شدن ابعاد را به دنبال

امروزه، تکنولوژی مخابرات بی سیم باند وسیع^۱ توجه زیادی را هم از دید آکادمیک و هم از منظر صنعتی به خود جلب نموده است به طوری که در سال ۲۰۰۲، کمیسیون شبكه های تلفنی و رسانه های ارتباط جمعی میان ایالتنی^۲ باند فرکانسی $3/1 \text{ GHz}$ تا $10/6 \text{ GHz}$ را برای کاربردهای مخابرات تجاری تعیین نمود [۱]. لذا طراحی و ساخت سیستم های مختلف مخابراتی و بلوک های آنها از جمله فیلترهای میان گذر که در این باند مورد استفاده قرار می گیرند، به منظور بالا بردن توانایی این نوع ساختارها از قبیل تیز بودن لبه ها، تلفات کم و مهمتر از همه ساختاری با ابعاد کوچک و هزینه ساخت

* رایانمۀ نویسنده پاسخگو: m.danaeian@gmail.com

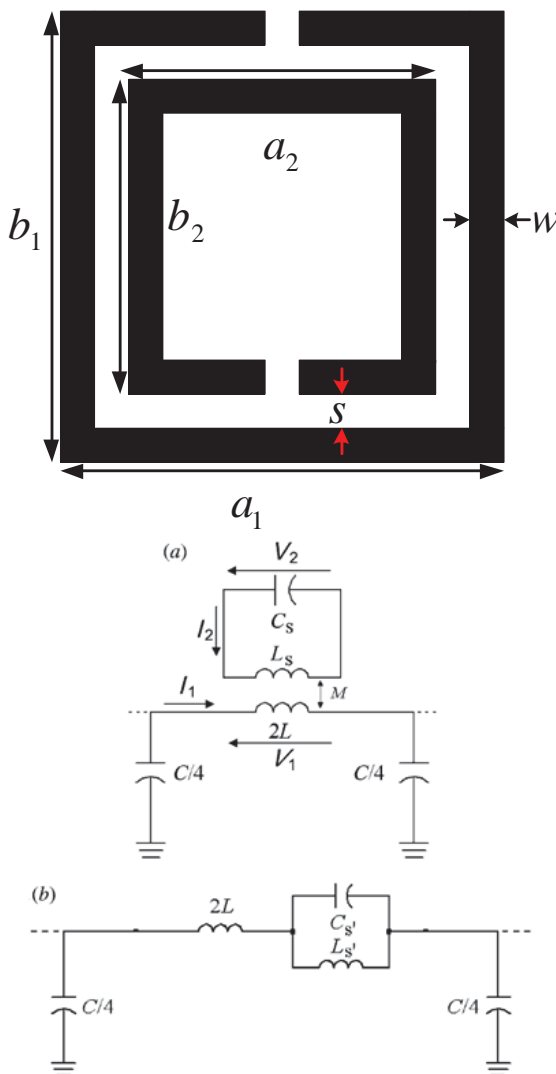
1- Ultra Wide Band (UWB)

2- Federal Communications Commission (FCC)

هنگامی که در کنار استریپ یک خط انتقال مایکرواستریپ قرار داشته باشد، نشان داده شده است. فرکانس تشدید حلقه‌ها از رابطه زیر قابل محاسبه هستند.

$$f_0 = \frac{1}{2\pi\sqrt{L_S C_S}} \quad (1)$$

که L_S اندوکتانس خودی با طول میانگین ابعاد دو حلقه و C_S خازن ناشی از قرار گرفتن حلقه کوچکتر داخل حلقه بزرگتر است. با تغییر ابعاد حلقه‌ها می‌توان فرکانس رزونانس آنها را تغییر داد. در این مقاله، به منظور ایجاد یک قطب نزدیک لبه‌ی بالای باند عبور فیلتر طراحی شده، از حلقه‌های رزونانسی نشان داده شده در شکل ۱ استفاده شده است. روابط دقیق مربوط به محاسبه‌ی سلف و خازن حلقه‌های رزونانسی در [۲] ارائه شده است.



شکل ۱. ساختار حلقه رزونانسی مستطیل شکل و مدار معادل آن

خواهند داشت. از بین روش‌های مختلف پیاده‌سازی خطوط فراماده، خطوط انتقال فراماده مبتنی بر حلقه‌های رزونانسی عملکرد بهتری در زمینه طراحی فیلترها از خود نشان می‌دهند [۲]. به همین دلیل در این زمینه، کاربرد فراوانی پیدا کرده‌اند. در زمینه طراحی فیلتر، علاوه بر داشتن ابعاد کوچک، پاسخ فرکانسی متقارن، تیز بودن لبه‌ها، بهبود فرودشانی خارج از باند عبور فیلتر و تلفات انتقال کم هم اهمیت زیادی دارند. خطوط انتقال فراماده مبتنی بر حلقه‌های رزونانسی در فرکانس قطع پائین و یا بالای باند عبور یک صفر انتقال از خود نشان می‌دهند که نتیجه‌ی آن تیز شدن لبه‌های باند عبور خواهد بود [۲]. از طرفی، میزان تعییف آنها در خارج از باند عبور زیاد بوده و همچنین با هر دو تکنولوژی مایکرواستریپ و CPW سازگار می‌باشند [۲].

۲. فراماده

فراماده یکی از مباحث روز در زمینه مخابرات میدان در جهان می‌باشد. فراماده یک ساختار الکترومغناطیسی مصنوعی و همگن است که دارای خواص فیزیکی غیر عادی می‌باشد. همچنین به ساختاری که ابعاد سلول‌های آن از طول موج خیلی کوچکتر باشد ساختار همگن گفته می‌شود [۳]. از طرفی به ساختارهایی که دارای ۴ و ۱۱ منفی هستند مواد دست چپی^۱ (LH) گفته می‌شود (در مقابل مواد دست راستی^۲ که ۶ و ۱۱ مثبت دارند). از آنجایی که مواد دست چپی دارای ویژگی‌های فراماده هستند می‌توان این مواد را فراماده نیز به حساب آورد [۲].

از دید مداری، مدل مداری خط انتقال LH شامل یک خازن در شاخه سری و یک سلف در شاخه موازی می‌باشد [۳]. روش‌های متفاوتی برای پیاده‌سازی خطوط انتقال LH و یا حالت عملی تر آنها به نام CRLH^۳ پیشنهاد شده است که از آن جمله می‌توان به ساختارهای خازن اینتردیجیتال/بازوی، استفاده از حلقه‌های رزونانسی دو تایی و مکمل آنها و همچنین استفاده از المان‌های فشرده SMD^۴ اشاره کرد [۲].

در روش پیاده‌سازی با استفاده از حلقه‌های رزونانسی^۴، حلقه‌ها روی صفحه زمین و یا استریپ خط انتقال مایکرواستریپ قرار داده می‌شوند [۲]. در پیاده‌سازی با استفاده از این نوع حلقه‌ها، SRR ها در یک بازه فرکانسی کوچک بالای فرکانس تشدید خود ۱۱ منفی از خود نشان می‌دهند. این ضریب منفی در باند بیان شده، باعث عدم تطبیق بین دهانه تغذیه و خط می‌شود و در نتیجه در فرکانس تشدید، یک صفر در خط انتقال توسط آنها تولید می‌گردد. در شکل ۱ ساختار یک حلقه رزونانسی مستطیل شکل و مدار معادل آن

1- Left Handed (LH)

2- Right Handed (RH)

3- Composite Right/Left-Handed

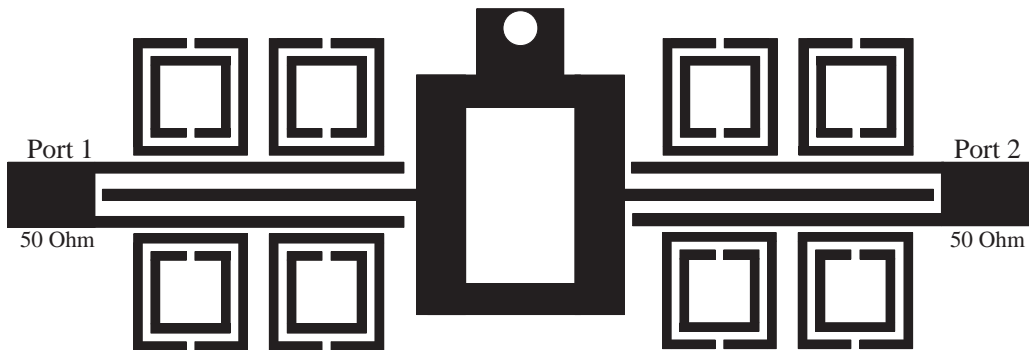
4- Surface Mount Device

5- Split Ring Resonator(SRR)

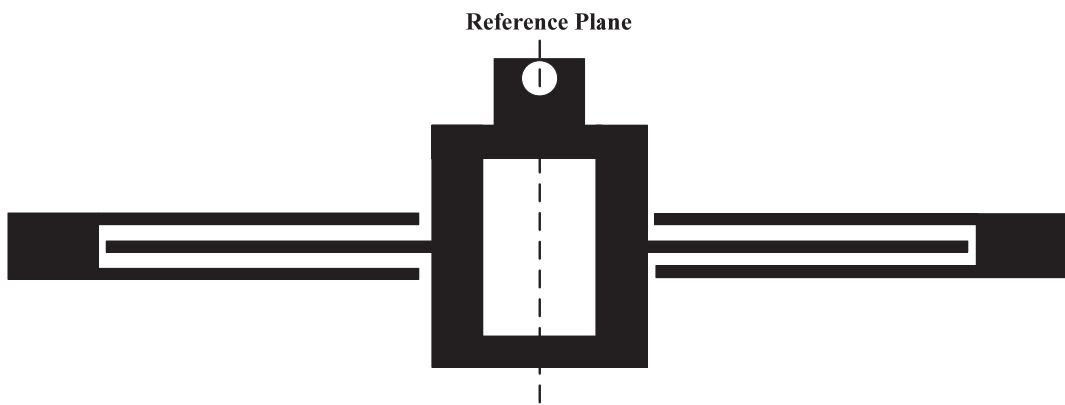
برای آنالیز ساختار فیلتر پیشنهاد شده از تحلیل مد زوج و فرد استفاده می نماییم [۱۹ - ۴]. فرکانس صفرهای ساختار از تحلیل مد زوج و فرد آن و از روی مدار معادلهایی که در شکل ۴ نشان داده شده است قابل محاسبه می باشند. خطوط فاصله دار تزویج موازی دوتایی^۱ با حلقه مایکرواستریپ نسبت به صفحه مرجع رسم شده در شکل ۳، یک ساختار متقارن است. بنابراین از نصف ساختار برای تحلیل مدهای زوج و فرد استفاده می کنیم. این مدل می تواند ساختار اصلی نشان داده شده در شکل ۳ را به دو بخش مساوی نسبت به صفحه مرجع تقسیم کند که برای حالت مد زوج صفحه مرجع به صورت مدار باز و برای حالت مد فرد صفحه مرجع به صورت اتصال کوتاه می باشد [۱۹ - ۴]. که مدارهای معادل در شکل های (a) و (b - ۴) نشان داده شده اند.

۳. طراحی فیلتر

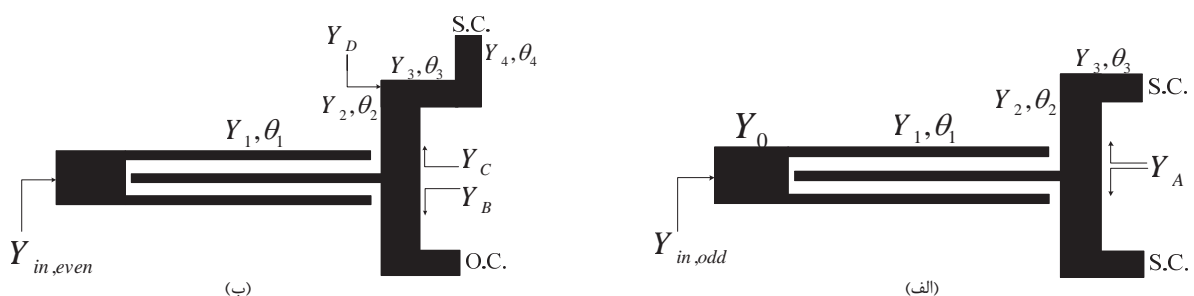
حلقه مایکرواستریپ یک خط انتقال است که به صورت حلقه بسته، فرم داده شده است [۴]. در طرح پیشنهاد شده، یک حلقه مایکرواستریپی مستطیل شکل میان دو خط فاصله دار تزویج دوتایی قرار گرفته است. با توجه به روش بیان شده در [۴]، دیده می شود که با استفاده از دو خط تزویج موازی تکی به همراه حلقة مایکرواستریپ، دو صفر انتقال در باند عبور تولید می شود. حال اگر به جای دو خط تزویج موازی تکی از خطوط فاصله دار تزویج موازی دوتایی استفاده کنیم، چهار صفر انتقال ایجاد خواهد شد از اینرو این نحوه قرار دادن حلقه مایکرواستریپی میان خطوط فاصله دار تزویج دوتایی، باعث می شود که ساختار دارای مشخصه های پهنای باند وسیع باشد. ساختار فیلتر پیشنهاد شده در شکل ۲ نشان داده شده است.



شکل ۲. ساختار فیلتر پیشنهادی



شکل ۳. صفحه مرجع برای فیلتر باند وسیع پیشنهادی



شکل ۴. مدل معادل خط انتقال ساختار پیشنهادی (الف) مدل مداری مد فرد (ب) مدل مداری مد زوج

^۱ Doublets Parallel Coupling Gaps

$$Y_C = Y_2 \frac{Y_D + jY_2 \tan \theta_2}{Y_2 + jY_D \tan \theta_2} \quad (7)$$

که:

$$Y_D = Y_3 \frac{-jY_4 + jY_3 \tan \theta_3 \tan \theta_4}{Y_3 \tan \theta_4 + Y_4 \tan \theta_3} \quad (8)$$

شرط رزونانس برای شکل (۴-ب) این است که $Y_{in,even} = 0$ شود، بنابراین فرکانس رزونانس برای مدد زوج از رابطه زیر قابل محاسبه می‌باشد [۲۰ - ۲۳].

$$jY_1 \tan \theta_1 + Y_B + Y_C = 0 \quad (9)$$

همان‌طور که در بالا بیان شد، بازوی زمین‌شده روی فرکانس رزونانس‌های مدد فرد تاثیری ندارد و فقط روی فرکانس رزونانس‌های مدد زوج تاثیر گذار خواهد بود، که با توجه به رابطه (۸) مشاهده می‌شود که ابعاد بازوی زمین‌شده بارگذاری‌شده روی حلقه مایکرواستریپ بارگذاری شده روی مدد زوج است و با توجه به رابطه (۷) به وضوح قابل مشاهده است که تغییرات Y_D روی Y_C اثر گذاشته و در نهایت طبق رابطه (۹) تغییرات Y_C روی فرکانس رزونانس مدد زوج اثر می‌گذارد. یعنی آنکه ابعاد بازوی زمین‌شده بارگذاری‌شده روی حلقه مایکرواستریپ، روی فرکانس رزونانس مدد زوج اثر می‌گذارد. از این‌رو با تغییر ابعاد بازوی زمین‌شده، به راحتی می‌توان محل صفرهای را تغییر داد.

بنابراین پارامترهای ماتریس پراکنده‌گی برای شبکه دو دهنگه استفاده از معادلات زیر بدست می‌آید [۲۰ - ۲۳]:

$$S_{11} = \frac{Y_{ine} Y_{ino} - Y_0^2}{(Y_{ine} + Y_0)(Y_{ino} + Y_0)} \quad (10)$$

$$S_{21} = \frac{Y_{ino} Y_0 - Y_{ine} Y_0}{(Y_{ine} + Y_0)(Y_{ino} + Y_0)} \quad (11)$$

که در این معادلات، ادمیتانس Y_0 مشخصه پورت‌های ورودی و خروجی می‌باشد.

شرط داشتن یک فیلتر باند وسیع با پهنای باند زیاد آن است که فرکانس صفرهای انتقال از رابطه $Y_{in,even} = Y_{in,odd}$ به دست آیند. امپدانس‌های ورودی با استفاده از مدار معادلهای خطوط انتقال تک پورتی نشان داده شده در شکل‌های (۴-الف) و (۴-ب) به عنوان $Y_{in,even}$ و $Y_{in,odd}$ محاسبه می‌شوند که بر پایه آن‌ها، ضرایب انتقال و انکاس برای شبکه دو درگاهی کلی که در شکل ۴ نشان داده شده به دست می‌آید [۲۰ - ۲۳].

همان‌طور که در شکل نشان داده شده است، خطوط انتقال ورودی و خروجی دارای ادمیتانس مشخصه Y_0 می‌باشد. خطوط فاصله‌دار تزویج موازی دوتایی نیز دارای طول الکتریکی θ_1 و ادمیتانس مشخصه Y_1 می‌باشند. حلقه مایکرواستریپ نیز دارای طول الکتریکی θ_2 و θ_3 به ترتیب در بازوی‌های عمودی و افقی و ادمیتانس مشخصه‌های Y_2 و Y_3 می‌باشد. همچنین بازوی زمین‌شده بارگذاری‌شده روی حلقه مایکرواستریپ نیز دارای طول الکتریکی θ_4 و ادمیتانس مشخصه Y_4 می‌باشد [۲۰ - ۲۳].

مطابق شکل‌های (۴-الف) و (۴-ب) در تحلیل مدهای زوج و فرد مشاهده می‌شود که بازوی زمین‌شده روی فرکانس رزونانس‌های مدد فرد تاثیری ندارد. از طرفی با توجه به تحلیل زوج دیده می‌شود که طول و عرض بازوی زمین‌شده روی فرکانس رزونانس‌های مدد زوج تاثیر گذار خواهد بود. از این‌رو اضافه نمودن بازوی زمین‌شده باعث تغییر محل صفر انتقال مدد زوج می‌شود به همین منظور اندازه بازوی را به گونه‌ای انتخاب می‌نماییم که یکی از صفرها در نزدیکی لبه پایین باند عبور قرار بگیرد و باعث تیز شدن لبه پایینی شود [۲۰ - ۲۳].

بنابراین ادمیتانس ورودی برای مدد فرد از روی شکل (۴-الف) و از رابطه زیر به دست می‌آید [۲۰ - ۲۳]:

$$Y_{in,odd} = Y_1 \frac{2Y_A + jY_1 \tan \theta_1}{Y_1 + 2jY_A \tan \theta_1} \quad (2)$$

که:

$$Y_A = Y_2 \frac{-jY_3 + jY_2 \tan \theta_2 \tan \theta_3}{Y_2 \tan \theta_3 + Y_3 \tan \theta_2} \quad (3)$$

که در آن $\theta = \beta L$ طول الکتریکی خط مایکرواستریپ است. شرط رزونانس برای شکل (۴-الف) این است که $Y_{in,odd} = 0$ شود، بنابراین شرط رزونانس برای مدد فرد از رابطه زیر محاسبه می‌شود [۲۰ - ۲۳].

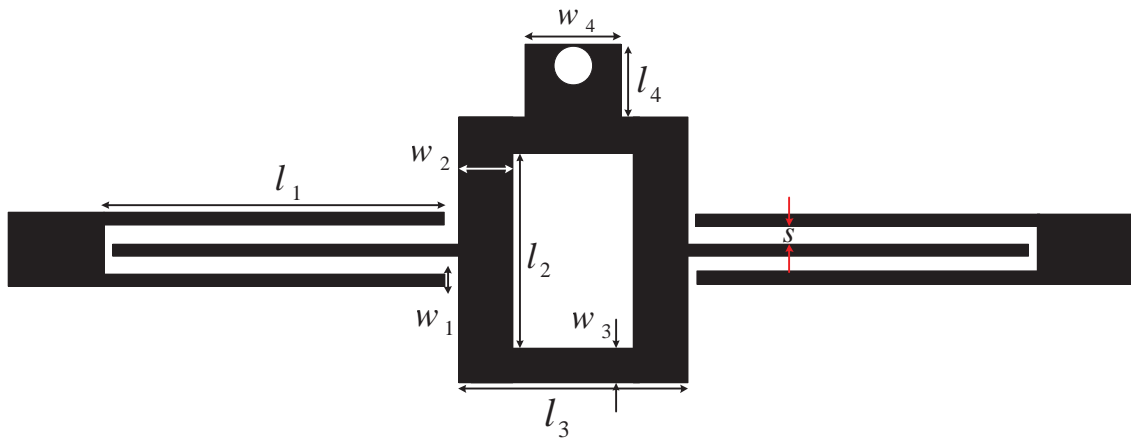
$$Y_1 Y_2 \tan \theta_1 \tan \theta_3 + Y_1 Y_3 \tan \theta_1 \tan \theta_2 - 2Y_2 Y_3 + 2Y_2^2 \tan \theta_2 \tan \theta_3 = 0 \quad (4)$$

به طور مشابه امپدانس ورودی برای مدد زوج از روی شکل (۴-ب) و از رابطه زیر به دست می‌آید [۲۰ - ۲۳]:

$$Y_{in,even} = Y_1 \frac{(Y_B + Y_C) + jY_1 \tan \theta_1}{Y_1 + j(Y_B + Y_C) \tan \theta_1} \quad (5)$$

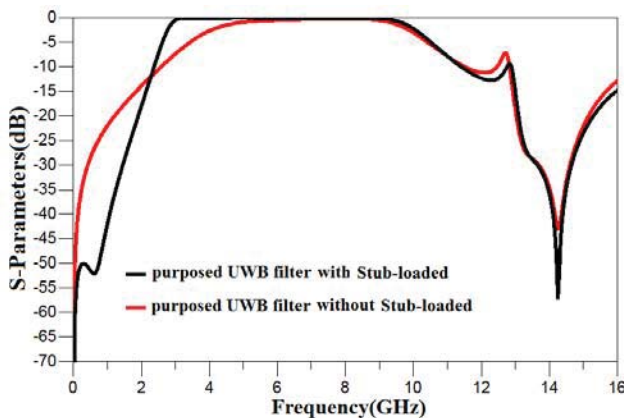
که:

$$Y_B = Y_2 \frac{jY_3 \tan \theta_3 + jY_2 \tan \theta_2}{Y_2 - Y_3 \tan \theta_2 \tan \theta_3} \quad (6)$$



شکل ۵. ابعاد ساختار فیلتر باند وسیع پیشنهادی

از باند عبور به باند قطع لبه پایینی و بهمنظور کنترل محل صفرهای انتقال از یک بازوی زمین شده روی حلقه مایکرواستریپی استفاده کرده ایم. با اضافه شدن این بازوی زمین شده، به راحتی می توان محل صفرهای انتقال را جابه جا نمود. با توجه به این قابلیت، یکی از صفرهای انتقال را به نحوی تنظیم می کنیم که یکی از این چهار صفر در نزدیکی لبه پایینی باند عبور قرار گیرد. همان طور که در شکل ۷ نشان داده شده، پاسخ فرکانسی برای حالتی که بازوی وجود ندارد با حالتی که بازوی اضافه شده است مقایسه شده است. در این شکل قابلیت بازوی اضافه شده به وضوح قابل مشاهده است که باعث تیز شدن لبه پایینی فیلتر شده است.



شکل ۷. شبیه سازی پاسخ فرکانسی فیلتر پیشنهادی با و بدون بازوی زمین شده روی حلقه مایکرواستریپی

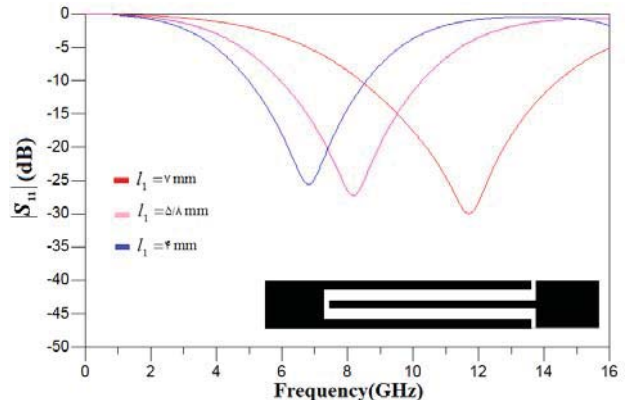
در شکل های ۸ و ۹ نیز پاسخ فرکانسی مربوط به اثر تغییر طول و عرض بازوی زمین شده نشان داده شده است. با توجه به این پاسخ فرکانسی ها دیده می شود که با تغییر طول و عرض بازو می توان به راحتی محل صفرهای انتقال را تغییر داد، که با توجه به شکل ها مشاهده می شود که فرکانس صفرها با طول بازویی یعنی l_1 رابطه عکس دارند یعنی با افزایش طول بازویی، فرکانس صفرها کاهش و با

ابعاد ساختار پیشنهادی در شکل ۵ نشان داده شده است. در شکل ۶ نیز پاسخ فرکانسی مربوط به اثر تغییر طول l_1 که مربوط به خطوط تزویج موازی دوتایی است، نشان داده شده است. همان طور که از روی این پاسخ فرکانسی مشاهده می شود می توان پهنای باند مورد نیاز جهت تطبیق امپدانس را برای فیلتر براحتی با تغییر ابعاد این خطوط تزویج، تنظیم نمود. در این شکل سه طول مختلف برای l_1 در نظر گرفته شده است که به ترتیب برابر خواهند بود با:

$$l_1 = 4\text{mm}$$

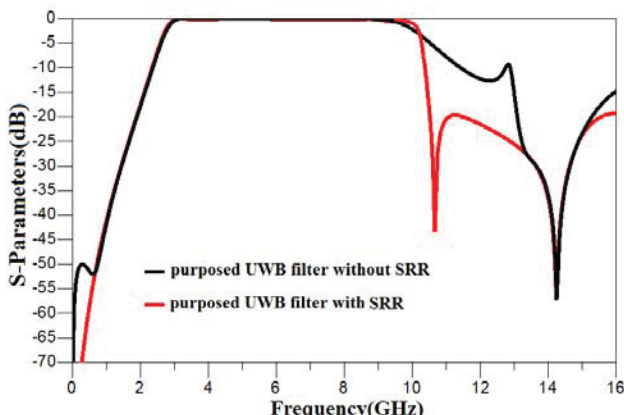
$$l_1 = 5/8\text{mm}$$

$$l_1 = 7\text{mm}$$



شکل ۶. شبیه سازی پاسخ فرکانسی فیلتر پیشنهادی برای طول خطوط تزویج موازی دوتایی مختلف

با توجه پاسخ فرکانسی ها، ملاحظه می گردد که پهنای باند و همچنین فرکانس مرکزی، هردو می توانند با تغییر طول خطوط تزویج موازی به آسانی تغییر کنند. با استفاده از خطوط فاصله دار مشخصه پهنای باند وسیع به دست می آید ولی همان طور که در شکل ۷ مشاهده می شود، نرخ تغییرات تلفات از باند عبور به باند قطع (تیز بودن لبه های پائینی و بالایی فیلتر) پاسخ فرکانسی فیلتر بدست آمده مناسب نمی باشد. از اینرو برای بهبود نرخ تغییرات تلفات



شکل ۸. شبیه‌سازی پاسخ فرکانسی فیلتر پیشنهادی با و بدون حلقه‌های رزونانسی شکاف‌دار

در نهایت بهمنظور سهولت در طراحی و با توجه به شکل ۵، فاصله میان خطوط تزویج یعنی s را برابر 0.1 mm و عرض استریپ‌های تشکیل‌دهنده خطوط تزویج موازی دوتایی یعنی w_1 را برابر 0.2 mm انتخاب نموده‌ایم. ابعاد دیگر نیز با توجه به شکل ۵ به صورت زیر انتخاب شده‌اند:

$$\begin{array}{llll} l_1 = 3/9 & w_1 = 0/2 & l_2 = 1/6 & w_2 = 0/8 \\ l_3 = 3 & w_3 = 0/4 & l_4 = 1 & w_4 = 1/2 \end{array}$$

که همگی بر حسب mm می‌باشند. همچنین قطر حفره^۳ ایجاد شده روی بازوی به منظور زمین کردن آن، برابر 0.4 mm می‌باشد

ابعاد حلقه‌های رزونانسی نیز به نحوی است که در فرکانس 10 GHz رزونانس داشته و یک قطب انتقال در این فرکانس یعنی در نزدیکی لبه بالایی به ساختار اضافه کنند، ابعاد دیگر حلقة نیز با توجه به شکل ۱ به صورت زیر انتخاب شده‌اند:

$$\begin{array}{llll} a_1 = 1/7 & b_1 = 1/7 & a_2 = 1/4 & b_2 = 1/4 \\ s = 0/2 & w = 0/3 \end{array}$$

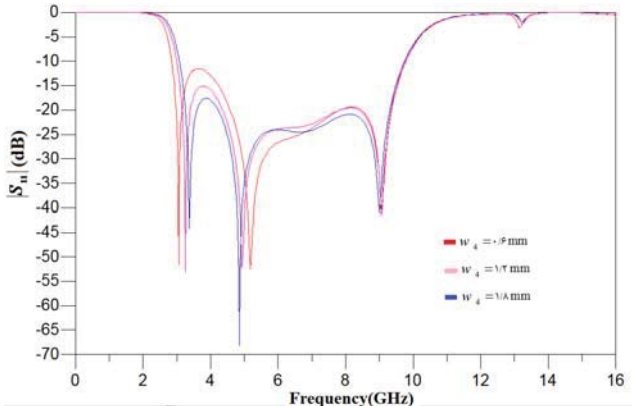
که همگی بر حسب mm می‌باشند. در طراحی این ساختار از زیر لایه RT/Duroid3210 با ثابت دیکتریک $10/2$ و ضخامت $1/27\text{ mm}$ استفاده شده است. این ساختار علاوه بر پاسخ فرکانسی بسیار مناسب، ابعاد بسیار کوچکی به اندازه $11/2 \times 4/3\text{ mm}$ اشغال می‌کند.

۴. نتایج شبیه‌سازی

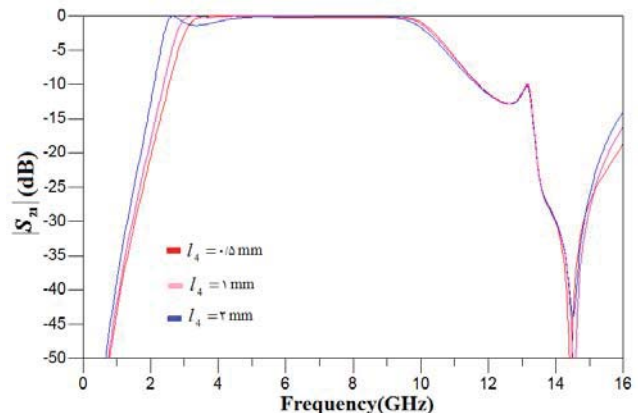
در این مقاله یک فیلتر باند وسیع کوچک را در باند فرکانسی $2/8\text{ GHz}$ تا 10 GHz طراحی کرده و آن را شبیه‌سازی نموده‌ایم. همان‌طور که در بخش قبل نیز بیان شد، فیلتر ارائه شده دارای چهار صفحه انتقال و یک قطب می‌باشد که چهار صفحه انتقال در باند عبور،

کاهش آن افزایش می‌یابد. همچنین فرکانس صفرها با عرض بازوی W_4 رابطه مستقیم دارد یعنی با افزایش عرض بازوی، فرکانس صفرها افزایش می‌یابد و کاهش آن افزایش می‌یابد.

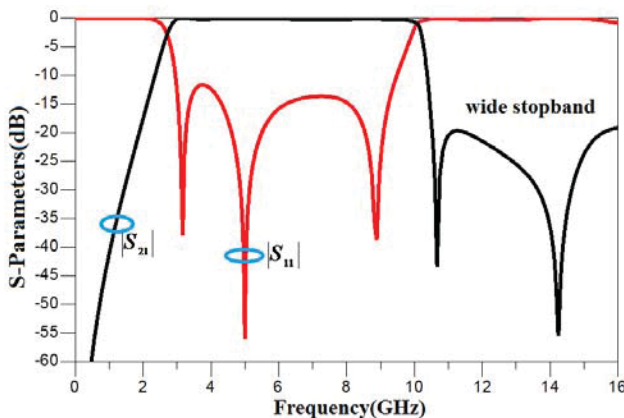
علاوه بر این در ساختار پیشنهادی شکل ۲، بهمنظور تیزتر شدن لبه بالایی باند عبور از حلقه‌های رزونانسی از قطب انتقالی که در نزدیکی لبه بالایی فیلتر اضافه می‌کنند، استفاده شده است. این امر افزایش تعداد طبقات فیلتر را مانند آنچه که در [۳] بهمنظور تیز شدن لبه بالایی فیلتر پیشنهاد شده است، را مرتفع می‌نماید. به این نکته نیز باید اشاره کرد که اضافه کردن حلقه‌ها علاوه بر این که کوچک شدن اندازه و نهایتاً بهبود تلفات انتقال^۱ را باعث می‌شود نتیجه بهتری را نسبت به افزایش تعداد طبقات از نظر تیز شدن لبه بالایی پاسخ فرکانسی بهدبال خواهد داشت. همان‌طور که در شکل ۱ نشان داده شده، پاسخ فرکانسی برای حالتی که حلقه‌های رزونانسی شکاف‌دار وجود ندارد با حالتی که حلقه‌های رزونانسی شکاف‌دار اضافه شده است مقایسه شده است. در این شکل قابلیت حلقه‌های رزونانسی شکاف‌دار اضافه شده به وضوح قابل مشاهده است که باعث تیز شدن لبه بالایی فیلتر شده است.



شکل ۸. شبیه‌سازی پاسخ فرکانسی فیلتر پیشنهادی برای عرض بازوی‌های زمین شده مختلف



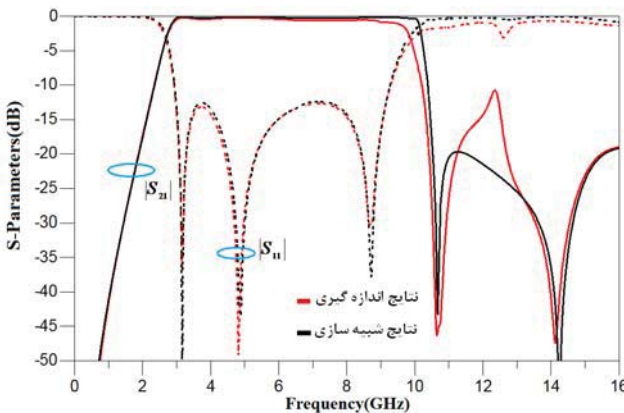
شکل ۹. شبیه‌سازی پاسخ فرکانسی فیلتر پیشنهادی برای طول بازوی‌های زمین شده مختلف



شکل ۱۱. نتایج شبیه‌سازی پارامترهای S فیلتر پیشنهادی



شکل ۱۲. شماتیک فیلتر پیشنهادی



شکل ۱۳. نتایج شبیه‌سازی و اندازه‌گیری شده پارامترهای S فیلتر پیشنهادی

در شکل ۱۴ نیز نمودار تاخیر گروه فیلتر پیشنهادی نشان داده شده است. همان‌طور که در شکل مشاهده می‌شود، تاخیر گروه از $55/8 \times 10^7$ S/m = $5/8 \times 10^7$ S/m و تلفات اندازه‌گیری شده مس را در باند عبور می‌زنند که میزان رسانایی برای مس را $\tan \delta = 0.027$ در نظر گرفته‌ایم.

نهایتاً در جدول ۱، فیلتر پیشنهادی با پنج فیلتر باند وسیع دیگر از جنبه‌های مهم ذکر شده در بالا مقایسه شده است. همان‌طور که دیده می‌شود ابعاد فیلتر پیشنهادی در مقایسه با سایر فیلترهای باند وسیع ذکر شده خیلی کوچکتر می‌باشد. همچنین فیلتر پیشنهادی

محدوده ۲/۸ GHz تا ۱۰ GHz را پوشش می‌دهند که توسط خطوط فاصله دار تزویجی و حلقه مایکرواستریپ تولید می‌شوند. بهمنظور کنترل این صفرهای از یک بازوی زمین شده روی حلقه مایکرواستریپ استفاده کردیم که با این کار یکی از صفرهای انتقال را در نزدیکی لبه پایینی فیلتر یعنی در فرکانس ۲/۸ GHz تغییر نمودیم تا لبه پایینی به اندازه مطلوب تیز باشد که نتایج بدست آمده در شکل ۷ به خوبی قابل مشاهده می‌باشد. از طرفی به منظور تیز نمودن لبه بالایی نیز از حلقه‌های رزونانسی استفاده نمودیم که این حلقه‌ها یک قطب در نزدیکی لبه بالایی یعنی در فرکانس ۱۰ GHz اضافه می‌کند بدون آن که نیاز به اضافه کردن طبقات و در نتیجه افزایش ابعاد فیلتر باشد. همان‌طور که در شکل ۱۰ مشاهده می‌شود لبه بالایی فیلتر به میزان زیادی نسبت به حالتی که حلقه‌های رزونانسی را نداریم، تیز شده است.

نتایج شبیه‌سازی این فیلتر در شکل ۱۱ نشان داده شده است که پاسخ فرکانسی فیلتر پیشنهادی با استفاده از نرم‌افزار شبیه‌ساز الکترومغناطیسی^۱ ADS ارائه گردیده است. همان‌طور که در پاسخ فرکانسی فیلتر مشاهده می‌شود میزان S_{12} در باند عبور بسیار نزدیک به صفر و کمتر از -0.4 dB است که بیان کننده توانایی بالای این فیلتر در عبور سیگنال و انتقال توان با حداقل تلفات در باند عبور می‌باشد. همچنین میزان S_{11} در باند عبور کمتر از -13 dB می‌باشد که این پارامتر نیز کم بودن میزان توان برگشتی به دهانه ورودی و تلفات کم این فیلتر را تایید می‌نماید.

همچنین بهمنظور داشتن یک شبیه‌سازی نزدیک به حالت عملی، تلفات دی الکتریک و تلفات اهمی لایه فلزی نیز در محاسبات وارد شده‌اند که میزان رسانایی برای مس را $5/8 \times 10^7$ S/m = 5.0×10^6 S/m و تراز تلفات را برابر زیر لایه برابر $\tan \delta = 0.027$ در نظر گرفته‌ایم.

نتایج شبیه‌سازی نشان‌دهنده این است که فیلتر پیشنهادی دارای پهنای باند کسری (FWB) 112.5% می‌باشد که استاندارد تدوین شده توسط FCC را برآورده می‌کند. علاوه بر این، فیلتر پیشنهادی دارای باند توقف با فرودشانی بیشتر از -20 dB و تا 18 GHz فرکانس 18 GHz یعنی در محدوده 10 GHz تا 18 GHz می‌باشد.

شماتیک فیلتر پیشنهادی در شکل ۱۲ نشان داده شده است. شکل ۱۳ نیز پاسخ‌های شبیه‌سازی و اندازه‌گیری شده برای فیلتر پیشنهادی نمایش داده شده است. همان‌طور که مشاهده می‌شود سازگاری خوبی بین نتایج شبیه‌سازی و اندازه‌گیری شده وجود دارد. اختلاف ناچیز موجود بهدلیل تلفات کانکتورها و تلفات اندازه‌گیری می‌باشد. اندازه‌گیری با استفاده از تحلیلگر شبکه^۲ HP8510C صورت گرفته است.

1- Advanced Design System

2- Vector Network Analyzer(VNA)

جدول ۱. مقایسه عملکرد فیلتر پیشنهادی با سایر فیلترها

| Reference number | Fractional bandwidth | Roll-off slope at lower/higher passband edge (dB/GHz) | Insertion loss (IL) | Return loss (RL) | Size $\lambda_0 \times \lambda_0$ |
|------------------|----------------------|---|------------------------|----------------------|--|
| [۵] | ۶۳/۷ % | ۶۴/۶۹ | min>- ۱/۲ dB | max<-۱۳ dB | ۰/۵۶×۰/۱۹ |
| [۶] | ۱۰۳/۵ % | ۸۲/۹۷ | min>- ۱/۴ dB | max<-۱۳ dB | ۱/۵۷×۰/۲۶ |
| [۷] | ۱۰۸ % | ۶۸/۱۰۳ | min>-۳ dB | max<-۷ dB | ۰/۷۸×۰/۲۶ |
| [۹] | ۱۰۰ % | ۸۱/۱۲۸ | min>-۲ dB | max<-۷ dB | ۰/۵۱×۰/۳۱ |
| [۱۳] | ۹۹ % | ۱۳۶/۱۱۸ | min>-۱ dB | max<-۱۵ dB | ۰/۵۴×۰/۲۸ |
| [۱۵] | ۱۲۲ % | ۱۴۴/۱۳۸ | min>-۱/۵ dB | max<-۱۰ dB | ۰/۵۱×۰/۳۳ |
| This Work | ۱۱۲/۵ % | ۱۰۴/۱۳۲ | min>- ۰/۴ dB | max<-۱۳ dB | ۰/۲۲×۰/۰۸ (۱۱/۲×۴/۳ mm^۲) |

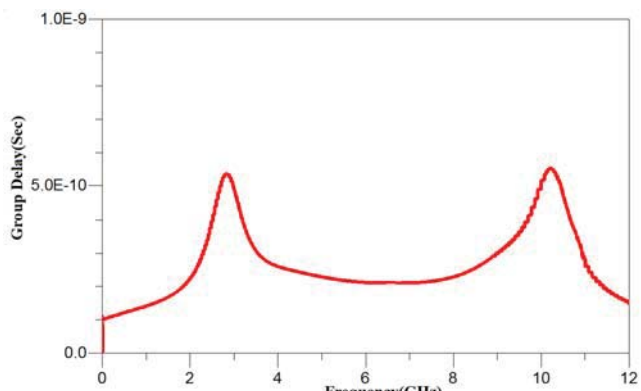
۵. نتیجه‌گیری

در این مقاله، فیلتر جدید باند وسیع کوچکی با استفاده از خطوط فاصله‌دار تزویج موازی، حلقه مستطیلی مایکرواستریپ و همچنین حلقه‌های رزونانسی شکافدار پیشنهاد شده است. فیلتر ارائه شده دارای چهار صفر انتقال و یک قطب انتقال می‌باشد. با استفاده از حلقه‌های رزونانسی، یک قطب در نزدیکی باند عبور در لبه بالایی اضافه شده است. از این‌رو ساختار فیلتر پیشنهادی در مقایسه با بسیاری از فیلترهای با پهنای باند وسیع، دارای فرونشانی خارج از باند (میزان تضعیف خارج از باند) زیاد، نرخ تغییرات تلفات از باند عبور به باند قطع زیاد بدون افزودن تعداد طبقات جدید (تیز بودن لبه بالایی و پایینی فیلتر)، تلفات کم، پهنای باند کسری زیاد که تمام محدوده تعیین شده توسط FCC را پوشش می‌دهد و ابعاد بسیار کوچک می‌باشد.

۶. مراجع

- [1] Federal Communications Commission, "Revision of part 15 of the Commission's rules regarding ultra-wideband transmission systems," Tech. Rep., ET-Docket, pp.98-153, FCC02-48, Apr. 2002.
- [2] R. Marque's, F. Martin and M. Sorolla, "Metamaterials with Negative Parameters," First Edition, John Wiley Co., 2006.

دارای تلفات بازگشتی خوبی بوده و تلفات انتقال آن نسبت به بقیه فیلتر به مراتب بهتر می‌باشد. به علاوه، با استفاده از بازوی زمین شده بارگذاری شده روی حلقه مایکرواستریپ و همچنین حلقه‌های رزونانسی شکافدار، فیلتر پیشنهادی دارای لبه‌های تیز می‌باشد (بدون نیاز به افزایش تعداد طبقات فیلتر و در نتیجه بزرگ شدن ابعاد). پهنای باند کسری فیلتر پیشنهادی نیز استاندارد تدوین شده توسط FCC را به خوبی برآورده می‌کند. از این‌رو عملکرد فیلتر پیشنهادی در مقایسه با سایر فیلترهای باند وسیع اشاره شده از تمامی جهات بهتر می‌باشد.



شکل ۱۴. تاخیر گروه شبیه‌سازی شده فیلتر پیشنهادی

- [16] I. Bahl and P. Bhartia, "Microwave Solid State Circuit Design," Wiley, New York, 1988.
- [17] Q. X. Chu, X. H. Wu, and X. K. Tian, "Novel UWB bandpass filter Using stub-loaded multiple-mode resonator," IEEE Microwave Wireless Components Letters, vol. 21, no. 8, pp. 403–405, Aug. 2011.
- [18] Wu, H. W., Chen, Y. W., & Chen, Y. F. "New ultra-wideband (UWB) bandpass filter using triangle-ring multi-mode stub-loaded resonator," Microelectronics Journal, vol. 43, no. 11, pp. 857–862, November 2012.
- [19] K. Ma, K. S. Yeo, J. Ma, and M. A. Do, "An ultra-compact hairpin band pass filter with additional zero points," IEEE Microwave Wireless Comp. Lett., pp. 262–264, 2007.
- [20] K. S. Chin, Y. C. Chiang, and J. T. Kuo, "Microstrip open-loop resonator with multi spurious suppression," IEEE Microwave Wireless Comp. Lett., pp. 574–576, 2007.
- [21] J. S. Hong, "Microstrip Filters for RF/Microwave Application," 2nd Edition, John Wiley & Sons, Inc., 2011.
- [22] K. Chang and L.H. Hsieh, "Microwave Ring Circuits and Related Structures," 2nd Ed, John Wiley & Sons, New Jersey, 2004.
- [23] I. Bahl and P. Bhartia, "Microwave Solid State Circuit Design," Wiley, New York, 1988.
- [3] C. Caloz and T. Itoh, "Electromagnetic Metamaterials," Transmission Line Theory and Microwave Applications, Wiley, Hoboken, NJ, 2006.
- [4] D. Jung, J. Lee, and K. Chang, "Wideband Bandpass Filter Using Microstrip Ring," Microwave and Optical Technology Letters, vol. 53, no. 1, Jan. 2011.
- [5] Z. Ma, W. He, C.Chen, Y. Kobayashi, and T. Anada, "A Novel Compact Ultra-Wideband Bandpass Using Stub-Loaded Dual-Mode Resonator Doublets," in Microwave Symposium Digest (IMS) Proc., pp. 435-438, 26 September 2008.
- [6] M. Gil, J. Bonache, J. Garcia-Garcia, J. Martel, and F. Martin "Composite right/left handed (CRLH) metamaterial transmission lines based on complementary split rings resonators (CSRRs) and their Applications to very wide band and compact filter design," IEEE Trans. Microwave Theory Tech., vol. 55, pp. 1296 – 1304, June 2007.
- [7] J. Bonache, F. Martin, J. Garcia-Garcia, I. Gil, R. Marque's, and M. Sorolla "Ultra wide band pass filters (UWBPF) based on complementary split rings resonators," Microwave and Optical Technology Letters. vol. 46, pp. 283 – 286, August 2005.
- [8] J. Bonache, I. Gil, J. Garcia-Garcia, and F. Martin "Complementary split rings resonators (CSRRs): towards the miniaturization of microwave device design," Compute. Electron. vol. 5, pp. 193–197, May 2006.
- [9] Q. X. Chu, X. H. Wu, and X. K. Tian, "Novel UWB bandpass filter Using stub-loaded multiple-mode resonator," IEEE Microwave Wireless Components Letters, vol. 21, no. 8, pp. 403–405, Aug. 2011.
- [10] P. Mondal, M. Mandal, and A. Chakrabarty, "Compact Ultra-Wideband Bandpass Filter with Improved Upper Stopband," IEEE Microwave and Wireless Components Letter, vol. 17, no. 9, September 2007.
- [11] D. Chen, X. D. Huang, and C. H. Cheng, "A Novel Compact Ultra Wideband (UWB) Bandpass Filter Using Multiple-Mode Resonator," Microwave And Optical Technology Letters, vol. 51, No.7, July 2009.
- [12] H. H. Hu, Z. Y. Xiao, W. Q. He, and S. Gao "Novel Compact Ultra Wideband Filter with Wide Stop Band," Microwave and Optical Technology Letters, vol. 51, no.1, January 2009.
- [13] Zhewang Ma, H. Sasaki, Ch.P. Chen, T. Anada, and Y. Kobayashi, "Design of a Wideband Bandpass Filter Using Microstrip Parallel-Coupled Dual-Mode Ring Resonator," Asia-Pacific Microwave Conference Proceedings, pp. 21 - 24, 7-10 Dec. 2010.
- [14] P. Cai, Z. Ma, X. Guan, Y. Kobayashi and T. Anada, "Novel Compact microstrip dual-mode ring resonator wideband Bandpass filter with significantly improved stopband property," IEICE Trans Electron., vol. E89-C, no. 12, pp. 1858-1864, Dec. 2006.
- [15] H. Zhu and Q-X. Chu, "Compact Ultra-Wideband (UWB) Bandpass Filter Using Dual-Stub-Loaded Resonator (DSLR)," IEEE Microwave and Wireless Components Letter, vol. 23, no. 10, October 2013.

A Compact and Sharp Ultra Wide Band Pass Filter with use of Short Stub Loaded Rectangular Ring and Split Ring Resonators

H. Fath Abadi, H. Mohseni, M. Danaeian*, E. Zare Zadeh

* Shahid Bahonar University of Kerman

(Received: 09/12/2014, Accepted: 08/09/2015)

Abstract

A compact and sharp-rejection ultra-wideband (UWB) microstrip bandpass filter (BPF) is presented. The proposed filter is constructed with multiple-mode resonator (MMR) and split ring resonator (SRR). Moreover, proposed structure consists of two doublets parallel coupling gaps at each side of a microstrip ring. In comparison with some other filters, this structure shows a significantly wider passband due to the introduction of a cross-coupling between the feed lines (input and output) which generate four pairs of attenuation zeros in the passband. In order to control the transmission zeros in the pass band and adjust the transmission zeros near the lower edges of the filter, a Short Stub, Loaded on microstrip Rectangular Ring Has Been Used. Also, In order to sharpen the upper edge of the filter, we used SRRs in both side of the doublets parallel coupling gaps that leads to the addition of one extra transmission poles at the upper edge of the filter. Consequently, a compact four-zero and one pole ultra-wide bandpass filter is designed which exhibits extremely sharp rejection skirts around the target passband. The proposed filter has a passband covers 2.8 to 10 GHz and its measured 3 dB fractional bandwidth is about 112.5%. Furthermore, rejection level better than 20 dB in upper stopband is extended to around 18 GHz. To our knowledge, the size of proposed ultra-wideband filter is more compact in comparison with known similar filters.

Keywords: Ultra-Wideband (UWB), Bandpass Filter (BPF), Microstrip Ring, Split Ring Resonator (SRR), Doublets Parallel Coupling Gaps, Multiple-Mode Resonator (MMR).

*Corresponding author E-mail: m.danaeian@gmail.com